

流砂を含む開水路乱流における時空相関特性

東北大学工学部 正員 岩崎敏夫

東北大学大学院〇学生員 半沢惣一

東北大学工学部 学生員 長谷川順行

1 はじめに

著者らは以前より移動床流れにおける乱流特性を主として鉛直分布の面から研究してきた。¹⁾ 今回は更に乱れの空間的把握及び乱れの移流過程把握のために時空相関を計測したのでここに結果を報告する。

2 実験装置及び実験方法

実験水路は幅77.5cm、長さ16mの可傾式水路である。砂は粒径が一様な砂（中央粒径 d_{50} : 0.36mm 均等係数1.50 比重2.67）を用いて水路床に約5cmの厚さに敷きつめた。流速測定は熱膜流速計のセンサーを2本用いて流下方向及び鉛直方向に配置して時空相関を測定した。Table-1に実験条件を示す。表中、 H_0 : 平均水深、 H : 基準センサーの位置の水深、 y_0 : 基準センサーの河床面からの距離、 U_m : 断面平均流速、 U_f : 摩擦速度、 $Fr = \frac{U_m}{\sqrt{gH_0}}$ 、 $Re = \frac{U_m H_0}{\nu}$ 、 I : 水面勾配である。シリーズIは砂行動かず河床は平坦な場合、シリーズIIは砂が平坦河床上を掃流状態で動く場合、シリーズIIIは河床波のある場合で基準センサーは山部分にある。河床波の規模についてはTable-2に示す。センサーの位置関係を特にシリーズIIIについて模式的にFig-1に示す。流下方向については上流側の、鉛直方向については河床に近い方のセンサーを基準センサーとし、センサーの存在による影響が少なくなるようにL型センサーを用いた。また、Table-1からわかるように流下方向については3つの相対水深について、鉛直方向については河床近くの1つのケースについて実験とした。データ処理は、データ数2000個、サンプリング間隔0.01秒、最大ラグ数100で行った。

3 実験結果及び考察

流下方向のずらし距離を τ_x 、それと垂直な2方向へのずらし距離を τ_y 、 τ_z 、ずらし時間で τ とすると一様な場における時空相関は次式で表わされる。

$$R_{uv}(x_0, y_0, z_0, \tau) = \frac{\langle u(x_0, y_0, z_0, t) v(x_0 + \tau_x, y_0 + \tau_y, z_0 + \tau_z, t) \rangle}{U^2} \quad (1)$$

Fig-2は τ_x をパラメータとした流下方向の時空相関の

Table 1

Case No.	H_0 (cm)	H (cm)	y_0 (cm)	U_m cm/sec	U_f cm/sec	Fr	$Re \times 10^4$	$I \times 10^4$	Bed Form
U 10	6.1	6.1	5.1	0.84	14.9	1.03	0.200	0.681	0.179
M 10	6.1	6.1	2.7	0.44	15.1	1.12	0.195	0.685	0.211
L 10	6.2	6.2	0.6	0.097	13.2	1.10	0.169	0.739	0.200
U 20	7.3	7.3	5.8	0.79	23.3	1.52	0.275	1.57	0.321
M 20	7.2	7.2	3.2	0.44	22.7	1.51	0.270	1.49	0.321
L 20	7.2	7.2	0.7	0.097	22.7	1.57	0.270	1.49	0.350
U 30	9.0	7.7	6.2	0.81	22.4	3.37	0.238	1.80	1.25
M 30	9.0	8.3	3.3	0.40	21.7	3.37	0.231	1.76	Dunes
L 30	9.0	7.3	0.8	0.11	23.8	3.37	0.253	1.84	1.29
V 10	6.4	6.4	0.6	0.096	14.7	1.08	0.186	0.850	0.186
V 20	7.2	7.2	0.7	0.097	24.9	1.51	0.296	1.58	0.321
V 30	9.0	7.0	0.8	0.11	23.1	3.27	0.246	1.85	1.21

Longitudinal
Vertical

Table 2

Case No.	U 30	M 30	L 30	V 30
波長(cm)	19	16	22	15
波高(cm)	2.6	1.4	3.4	3.4

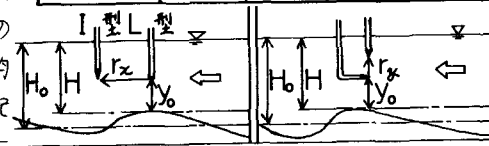


Fig-1 センサー配置模式図

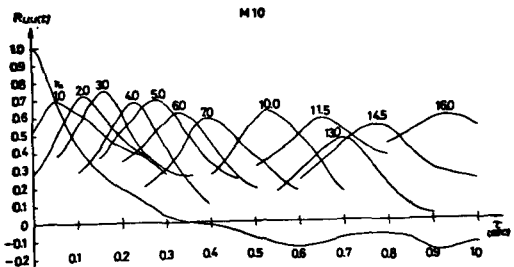


Fig-2 時空相関(流下方向)

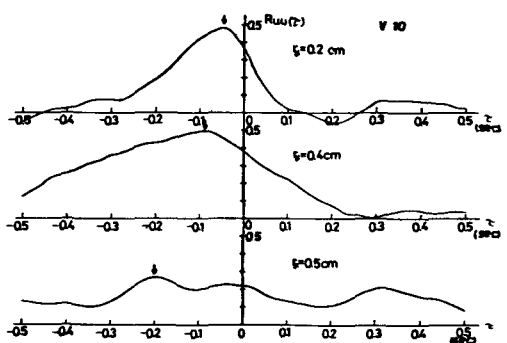


Fig-3 時空相関(鉛直方向)

例である。ある遅れ時間にピークが生じてあり、乱れが急激には変化せずある程度形を保つつつ流下方向に移流されてしまうことがわかる。

Fig-3は τ_0 をパラメータとした鉛直方向の時空相関を表わしている。相関のピークが負の方に生じてあり、河床近くの乱れはその上の乱れに比べて遅れていることがわかる。これは一様流と異なった剪断流の大きな特徴である。

さて、流下方向の時空相関のピークの発生遅れ時間 τ_0 を距離 L_x を割って得られる移流速度 U_L と平均流速 U の比を τ_0/U についてプロットしたのがFig-4である。これより全ケースについて τ_0/U よりわずかに大きい値となるといろがあるほかには τ_0/U より小さく、剪断流、移動床流れにおいても、Taylorの凍結乱流の仮定が成り立つと考えられる。L20, L30でバラツキが大きいのは河床近くで砂の動きや河床波の影響によりBurstingが強まり主流を不安定にしていることが考えられる。

Fig-5は鉛直方向の時空相関に現われるるピークの発生遅れ時間 τ_0 に対しプロットしたものである。どの河床状態でも先に述べた剪断流の特徴である $\tau_{peak} < 0$ の傾向は出ており、その大きさは多く 15 cm においてほぼ τ_0 に比例している。また移動床の場合には清水中に比べて小さくなっているが鉛直方向についてこの位相差が小さくなることを示している。特に河床波の山部分では乱れが一體となって流れていくことがわかる。

Fig-6は流下方向、鉛直方向での時空相関で $\tau_0 = 0$ として得られる空間相関から描かれた等相関曲線である。これより清水中ではかなり偏平な渦が移動床となり河床波が形成されてくると全体的に丸味を帯びてくることが推察される。これに流下方向についての渦径の縮少と鉛直方向の渦径の増大によると見ることができ、Fig-5と関連して考えれば移動床となり、砂が動き、河床波が生成されると、鉛直方向の混合が助長されると推察される。著者らは、平均流速分布について、移動床になった場合に河床近くでは対数よりもはるかに一様化すること、流下方向の渦径が若干縮少することを報告しているが今回の結果はそれらと対応するものと考えられる。特に平均流速分布については、Fig-5, Fig-6で考慮したように混合距離の増加という面からの説明の可能性が見出される。

4. 結論

今回の時空相関に関する測定より、剪断流、流砂を含む移動床流においてTaylorの凍結乱流の仮定はほぼ成立することがわかった。また、移動床、特に河床波の存在する場合には乱れは河床附近ではかなり一様性を帯びる。これに鉛直方向の混合の増加ということと結びつき、平均流速分布で得られた結果と対応することがわかった。

＜参考文献＞

①岩崎、半沢、三宅：三次元河床波付近の乱れ計測、昭和53年度東北支部技術研究発表会講演概要 RR-69-70

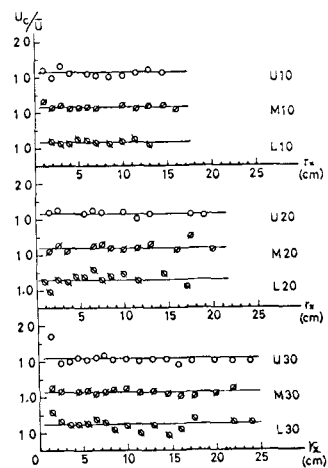


Fig-4 平均流速と移流速度の比

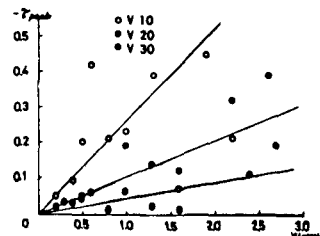


Fig-5 τ_{peak} と L_x の関係

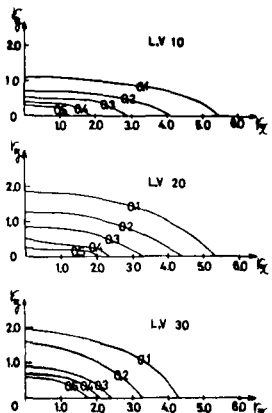


Fig-6 等相関曲線